de 10,44 carats, présentant un revêtement rose, acquise pour une trentaine d'euros, vient compléter le lot.

Les identifications de ces moissanites ont été confirmées par spectroscopie Raman. Sur la base des spectres Raman, six pierres sur les huit de 1 carat sont identifiées comme polytype 4H-SiC et deux comme 6H-SiC (Kiefert *et al.*, 2001). Les spectres d'absorption UV-visible-NIR des 8 moissanites de 1 carat sont présentés en Figure 2. Ces spectres sont cohérents avec ce qui peut être perçu comme l'équivalent "couleur de masse" apparente de chaque pierre (exempte de tout effet optique dû aux facettes). Par exemple, la pierre en Figure 2b présente un spectre d'absorption avec deux fenêtres de transmission dans le bleu et dans le rouge donnant une « couleur de masse » pourpre.

Ces pierres ont également été analysées par EDXRF pour connaître la composition chimique des différents revêtements. Il ressort que la majorité des éléments déposés à la surface sont, comme attendu (Wu et al., 2024), le titane, le nickel et/ou le fer dans la plupart des cas. D'autres éléments comme le cuivre, le germanium, le molybdène, le néodyme, l'étain, le chrome, le zirconium, l'indium, l'or, ou le cadmium viennent compléter les compositions et probablement intervenir sur la teinte du revêtement. Le tungstène a été détecté sur tous les échantillons. Il est plus probable que sa présence soit due à la méthode de synthèse (Xu et al., 2002) ou au polissage. Notons que la présence d'au moins 8 métaux différents dans la composition du revêtement de la pierre en Figure 2d suggère un niveau de connaissance avancé des dépôts plasma et des couleurs résultant de l'association de ces métaux.

BIBLIOGRAPHIE

Kiefert L., Schmetzer K., Hänni H.A. (2001) Synthetic moissanite from Russia. *The Journal of Gemmology*, **27**(8), 471-481.

Wu T.J., Song S.R., Chen W.S., Lin W., Cheng C.T. (2024) Nanoscale techniques for characterizing

gemstone coating: A case study on synthetic moissanite. *Gems & Gemology*, **60**(1), 42-54.

Xu J.A., Mao H.K., Hemley R.J., Hines E. (2002) The moissanite anvil cell: A new tool for high-pressure research. Journal of Physics: *Condensed Matter*, 14(44), 11543.



POROUS SYNTHETIC RUBIS Féodor Blumentritt, Franck Notari, Candice Caplan

Depuis au moins fin 2023, une nouvelle matière vendue en tant que rubis synthétique est apparue, et présentée sur certains stands du Tucson Gem show (Arizona, Feb. 2024), au Jewelry Trade Center (Bangkok, Thailand, dec. 2023) ainsi que sur certains sites de vente en ligne. Cette matière est parfois vendue sous l'appellation "rubis nid d'abeille" du fait de son apparence souvent alvéolaire selon l'orientation (Figure 1).



Figure 1 : Morceau brut (SGDF-16681) et sphère (SGDF-16682) de rubis fritté. Photo F. Blumentritt.

Figure 1: Raw piece (SGDF-16681) and sphere (SGDF-16682) of sintered ruby. Photo F. Blumentritt.



Figure 2 : Aspect de la partie friable où l'aspect pulvérulent est encore observable. Micrographie F. Blumentritt.

Figure 2: Appearance of the friable part where the powdery appearance is still observable. Micrograph F. Blumentritt.



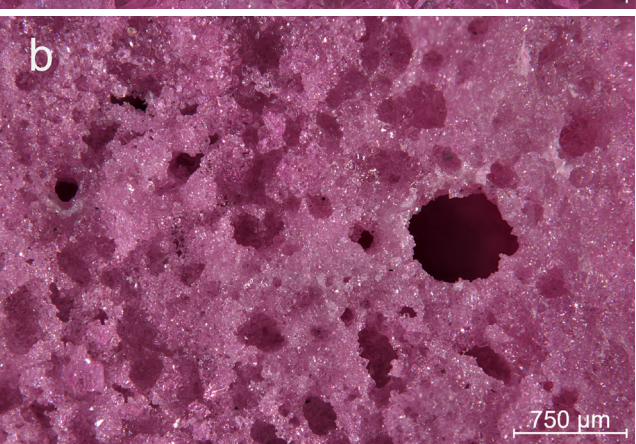


Figure 3 : Micrographies de l'aspect général sous microscope optique avec un détail sur des cristaux prismatiques dans les cavités (droite) et des grains accolés et de larges cavités (gauche). Micrographies F. Blumentritt.

Figure 3: Micrographs of the general appearance under an optical microscope with detail on prismatic crystals in the cavities (right) and adjacent grains and large cavities (left). Micrographs F. Blumentritt.

L'aspect atypique a attiré notre attention pour comprendre la méthode de production de ce matériau à l'évidence artificiel. Ce "rubis" se présente sous la forme d'une masse rose-rouge à sous-teinte pourpre, opaque, poreuse et friable sur certaines parties (Figure 2). Certains blocs dépassent les 10 kilogrammes, ce qui témoigne d'une production maîtrisant de gros volumes. Les porosités semblent provenir de l'échappement de gaz ou de fluides pendant la synthèse.

Du fait de la grande porosité et de la friabilité de ce matériau, les tests de gemmologie classiques (indice de réfraction, densité) ne sont pas pertinents. Sous ultraviolet (lampe torche, 365 nm), la luminescence rouge très intense du chrome trivalent est observée. Sous microscope, de petits grains accolés les uns aux autres sont observés avec de temps à autre des cavités contenant de petits cristaux prismatiques pouvant atteindre des dimensions millimétriques (Figure 3).

Certains montrent des faces de rhomboèdre quasiparfaites. D'autres sont très fins et semblent former de petits clusters attachés à la surface de grains frittés. Ces deux morphologies sont relativement communes pour des rubis synthétiques Ramaura (Kane, 1983). L'identification comme corindon a été confirmée par spectrométrie infrarouge. Sur le spectre infrarouge, des bandes situées entre 2800 et 3000 cm⁻¹, attribuées à des liaisons carbone-hydrogène, indiquent la présence d'huile probablement ajoutée post-production ou post-façonnage pour améliorer l'aspect visuel de ce matériau polycristallin et poreux par "effet mouillé".

L'analyse chimique révèle une composition de corindon habituellement rencontrée dans des rubis naturels de marbre avec la détection d'aluminium, de chrome, de vanadium, de calcium, de titane, de gallium et de fer (voir par exemple Palke et al., 2019). Certains éléments comme le cuivre, le zinc ou le tungstène sont objectivement des pollutions et suggèrent que le matériel de base a été broyé dans un mortier métallique. On peut raisonnablement penser que cette matière est une valorisation de rubis naturel de basse qualité, broyé et possiblement fritté dans des conditions qui restent à définir précisément.

Cependant, l'aspect poreux et la recristallisation de cristaux ayant un habitus ressemblant à celui des cristaux de rubis synthétiques Ramaura suggèrent l'utilisation d'un fluide (aqueux ?) à haute pression. La discussion reste néanmoins ouverte et il est également possible que cette matière soit le résultat ou le sous-produit d'une tentative malheureuse de synthèse.

BIBLIOGRAPHIE

Kane, R. E. (1983) The Ramaura Synthetic Ruby, *Gems & Gemology*, **19**(3), p. 130-148.

Palke, A. C., Saeseaw S., Renfro, N. D., Sun, Z., McClure, S. F., (2019) Geographic Origin Determination of Ruby, *Gems & Gemology*, 55(4), p. 580–612, http://dx.doi.org/10.5741/GEMS.55.4.580.



Figure 1 : Livret offert par Beach Gem & Jewelry Co., LTD présentant les teintes de triplets déjà disponibles à la vente (réf. des 6 triplets en bas SGDF-16538 -16539 -16540 -16541 -16543 et -16544). Photo F. Blumentritt.

Figure 1: Booklet offered by Beach Gem & Jewelry Co., LTD presenting the triplet shades already available for sale (ref. of the 6 triplets at the bottom SGDF-16538-16539-16540-16541-16543 and -16544). Photo F. Blumentritt.



inclu

Triplet verre/Film teinté/Quartz

GLASS/TINTED FILM/ INCLUDED QUARTZ TRIPLET Féodor Blumentritt, Franck Notari, Candice Caplan

Une firme basée en Chine (Beach Gem & Jewelry Co., LTD) vend depuis 2023 des triplets verre/ quartz proposés sous l'appellation *Fusion stone* avec un film teinté entre les deux (Figure 1).

La teinte est ajustée selon les besoins de la clientèle : une large gamme de teintes imitant celles de pierres naturelles est déjà disponible, et ce dans des dimensions pouvant dépasser deux centimètres. La firme assure pourvoir reproduire n'importe quelle couleur pour des triplets calibrés à un prix très modeste (entre 0,2 et quelques USD par carat).

L'aspect général de ces triplets est assez convaincant pour certaines teintes qui peuvent être très similaires aux pierres naturelles comme des imitations de